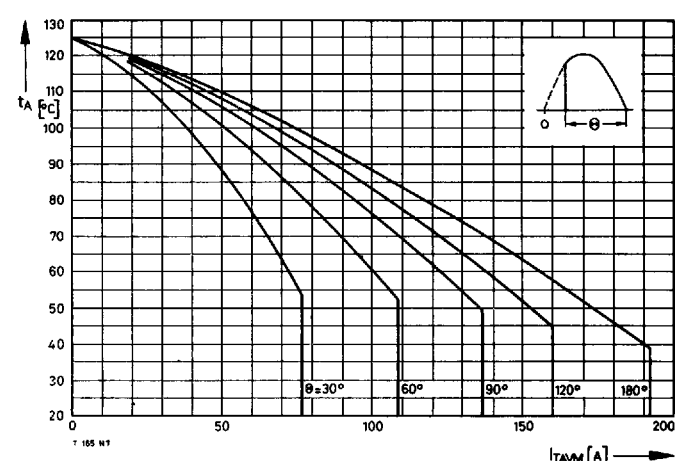
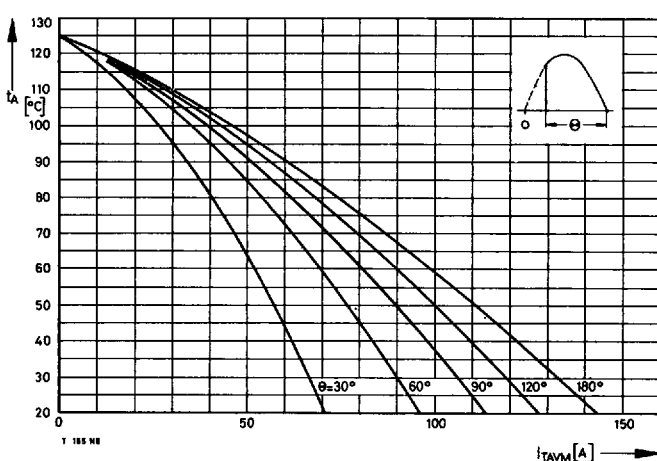
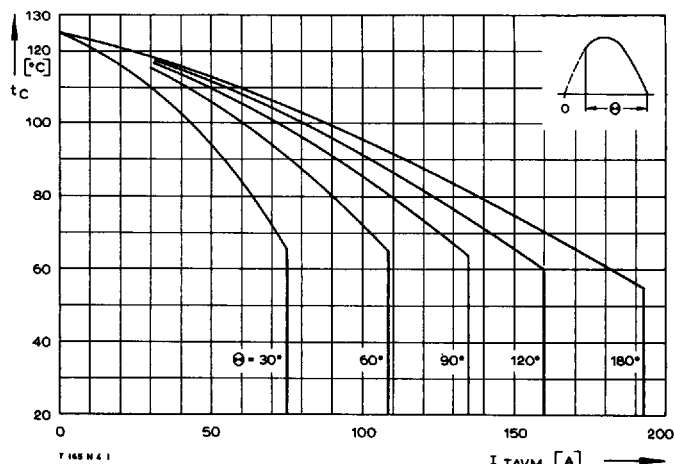
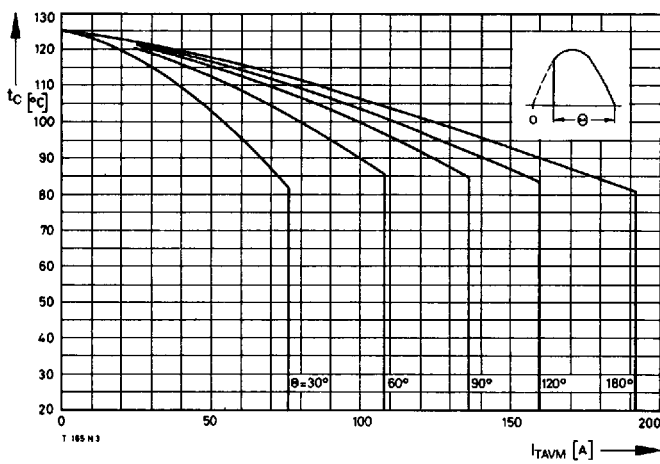
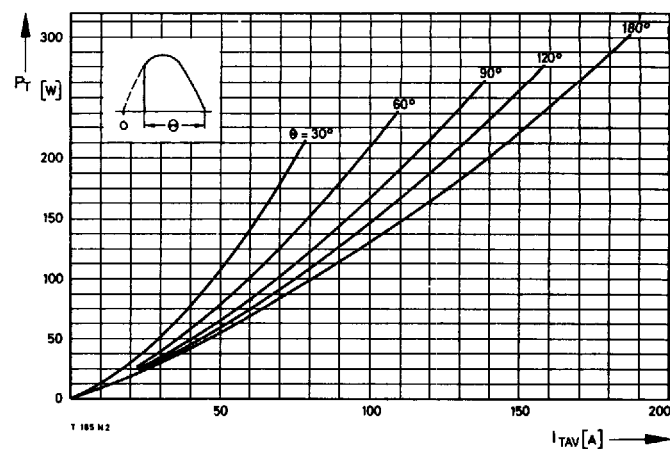
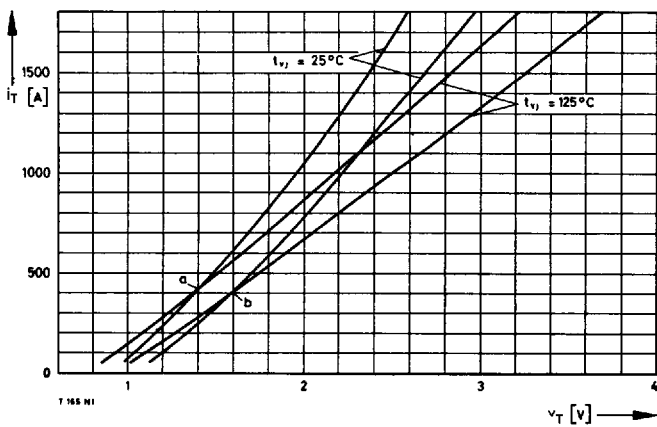
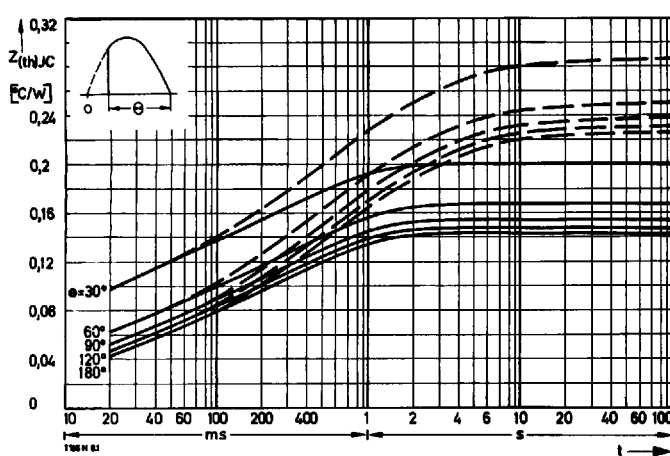


Type range	T 178 N	400*	600	800	1000	1100	1200	1400	1600	1800*
Elektrische Eigenschaften	Electrical properties									
Höchstzulässige Werte	Maximum permissible values									
V_{DRM} , V_{RRM}	Periodische Vorwärts- und Rückwärts-Spitzenperrspannung	repetitive peak forward off-state and reverse voltages							400...1800	V
I_{TRMSM}	Effektiver Durchlaßstrom	RMS on-state current							300	A
I_{TAVM}	Dauergrenzstrom	average on-state current	$t_C = 85^\circ\text{C}$						178	A
I_{TAVM}			$t_C = 81^\circ\text{C}$						190	A
I_{TRM}	Periodischer Spitzenstrom	repetitive peak on-state current							1800	A
I_{TSM}	Stoßstrom-Grenzwert	surge current	$t_p = 10 \text{ ms}, t_{vj} \leq 45^\circ\text{C}$						3000	A
$\int i^2 dt$	Grenzlastintegral	$\int i^2 dt$ -value	$t_p = 10 \text{ ms}, t_{vj} = t_{vj \max}$						2600	A
$(di/dt)_{cr}$	Kritische Stromsteilheit	critical rate of rise of on-state current	$t_p = 10 \text{ ms}, t_{vj} \leq 45^\circ\text{C}$						45000	A^2s
$(dv/dt)_{cr}$	Kritische Spannungssteilheit	critical rate of rise of off-state voltage	$t_p = 10 \text{ ms}, t_{vj} = t_{vj \max}$						34000	A^2s
			nicht periodisch/non repetitive						800	$\text{A}/\mu\text{s}$
			Dauerbetrieb/continuous operation, $i_{TM} = 600 \text{ A}$, $v_L = 10 \text{ V}$, $i_G = 0,75 \text{ A}$, $di_G/dt = 0,75 \text{ A}/\mu\text{s}$						150	$\text{A}/\mu\text{s}$
			$v_D = 67\% V_{DRM}$, $t_{vj} = t_{vj \max}$						400	$\text{V}/\mu\text{s}$
			5. Kennbuchstabe/5th letter C						1000	$\text{V}/\mu\text{s}$
			5. Kennbuchstabe/5th letter F							
Charakteristische Werte	Characteristic values									
V_T	Obere Durchlaßspannung	max. on-state voltage	$t_{vj} = 25^\circ\text{C}, i_T = 600 \text{ A}$						1,82	V
$V_{(TO)}$	Schleusenspannung	threshold voltage	$t_{vj} = t_{vj \max}$						0,92	V
r_T	Ersatzwiderstand	slope resistance	$t_{vj} = t_{vj \max}$						1,5	$\text{m}\Omega$
V_{GT}	Obere Zündspannung	max. gate trigger voltage	$t_{vj} = 25^\circ\text{C}, v_D = 6 \text{ V}, R_A = 5 \Omega$						2	V
I_{GT}	Oberer Zündstrom	max. gate trigger current	$t_{vj} = 25^\circ\text{C}, v_D = 6 \text{ V}, R_A = 5 \Omega$						150	mA
	Unterer Zündstrom	min. gate trigger current	$t_{vj} = t_{vj \max}, v_D = 6 \text{ V}, R_A = 5 \Omega$						10	mA
I_H	Oberer Haltestrom	max. holding current	$t_{vj} = 25^\circ\text{C}, v_D = 6 \text{ V}, R_A = 5 \Omega$						200	mA
I_L	Oberer Einraststrom	max. latching current	$t_{vj} = 25^\circ\text{C}, v_D = 6 \text{ V}, R_{OK} \geq 10 \Omega$						800	mA
i_D, i_R	Oberer Vorwärts- und Rückwärts-Sperrstrom	max. forward off-state and reverse currents	$i_G = 0,75 \text{ A}, di_G/dt = 0,75 \text{ A}/\mu\text{s}, t_g = 20 \mu\text{s}$						25	mA
t_{gd}	Oberer Zündverzug	max. gate controlled delay time	$t_{vj} = t_{vj \max}, v_D = V_{DRM}$ ($V_R = V_{RRM}$)							
t_q	Typische Freiwerdezeit	typical turn-off time	$i_G = 0,75 \text{ A}, di_G/dt = 1,5 \text{ A}/\mu\text{s}$						4,5	μs
C_{null}	Typische Nullkapazität	typical zero capacitance	Prüfbedingungen/test conditions 3.4.3.4						180	μs
			$t_{vj} = 25^\circ\text{C}, f = 10 \text{ kHz}$						3	nF
Thermische Eigenschaften	Thermal properties									
R_{thJC}	Innerer Wärmewiderstand für beidseitige Kühlung	thermal resistance, junction to case for two-sided cooling	$\Theta = 180^\circ\text{el}, \sinus$						$\leq 0,141^\circ\text{C}/\text{W}$	
			DC						$\leq 0,133^\circ\text{C}/\text{W}$	
$R_{thJC(A)}$	für anodenseitige Kühlung	for anode-sided cooling	$\Theta = 180^\circ\text{el}, \sinus$						$\leq 0,224^\circ\text{C}/\text{W}$	
$R_{thJC(K)}$	für kathodenseitige Kühlung	for cathode-sided cooling	DC						$\leq 0,216^\circ\text{C}/\text{W}$	
R_{thCK}	Wärmewiderstand für einen Übergang zwischen Gehäuse und Kühlkörper	single sided thermal resistance, case to heatsink	$\Theta = 180^\circ\text{el}, \sinus$						$\leq 0,344^\circ\text{C}/\text{W}$	
			DC						$\leq 0,336^\circ\text{C}/\text{W}$	
$t_{vj \max}$	Höchstzul. Sperrschnitttemperatur	max. junction temperature							0,03	$^\circ\text{C}/\text{W}$
$t_{vj \text{ op}}$	Betriebstemperatur	operating temperature							125	$^\circ\text{C}$
t_{stg}	Lagertemperatur	storage temperature							-40°C ... +125°C	
									-40°C ... +140°C	
Mechanische Eigenschaften	Mechanical properties									
G	Gewicht	weight							70	g
F	Anpreßkraft	clamping force							3...4,5	kN
	Maßbild	outline							Seite/page 240	
	Kriechstrecke	creepage distance							17	mm
	Feuchtekategorie	humidity classification								C
	Schüttelfestigkeit	vibration resistance	$DIN 40040$							
			$f = 50 \text{ Hz}$						5x9,81	m/s^2

* Für größere Stückzahlen bitte Liefertermin erfragen/Delivery for larger quantities on request

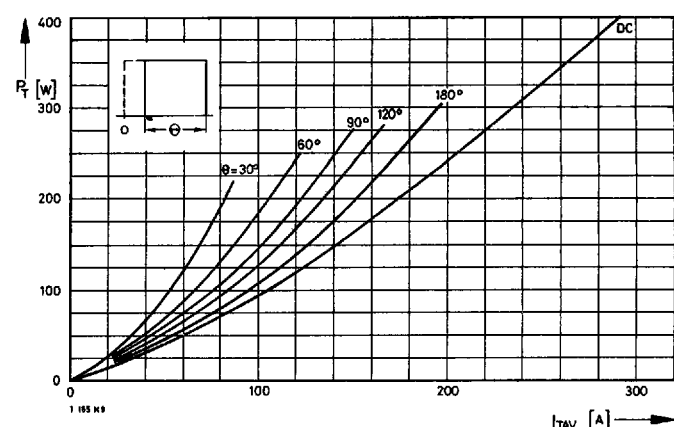
T-25-19





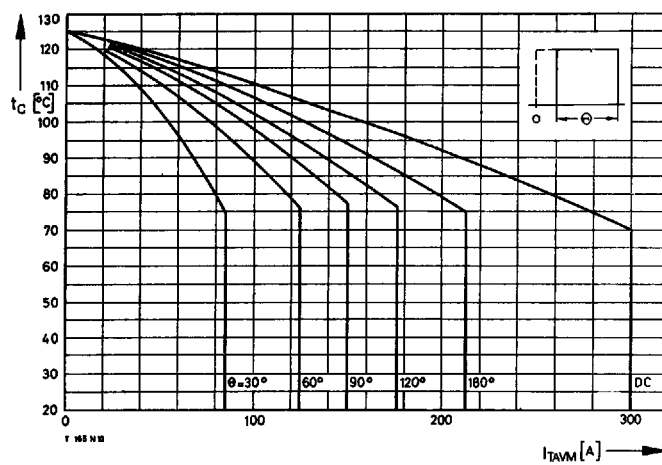
Bild/Fig. 7

Transienter innerer Wärmewiderstand $Z_{(th)JC}$
Transient thermal impedance, junction to case, $Z_{(th)JC}$
--- anodenseitige Kühlung/anode sided cooling
— beidseitige Kühlung/two-sided cooling



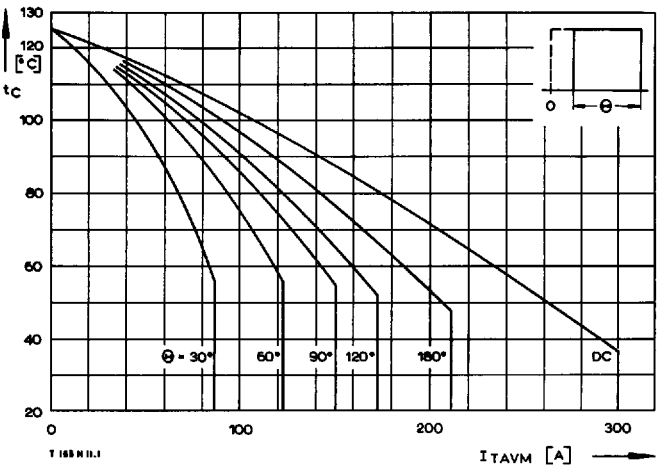
Bild/Fig. 8

Durchlaßverlustleistung P_T /On-state power loss P_T
Parameter: Stromflußwinkel Θ /current conduction angle Θ



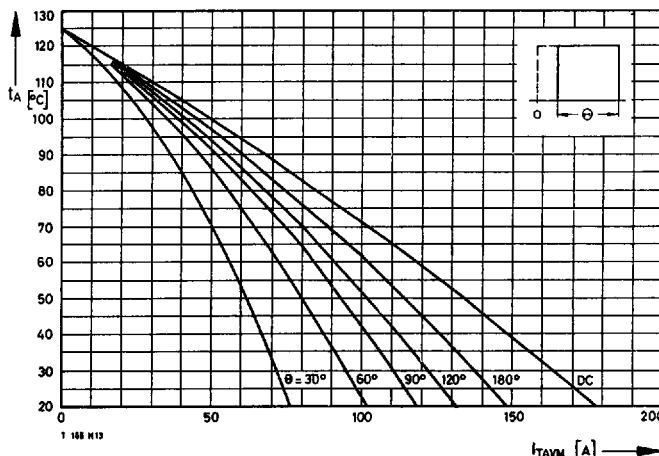
Bild/Fig. 9

Höchstzulässige Gehäusetemperatur t_C bei beidseitiger Kühlung
Maximum allowable case temperature t_C at two-sided cooling



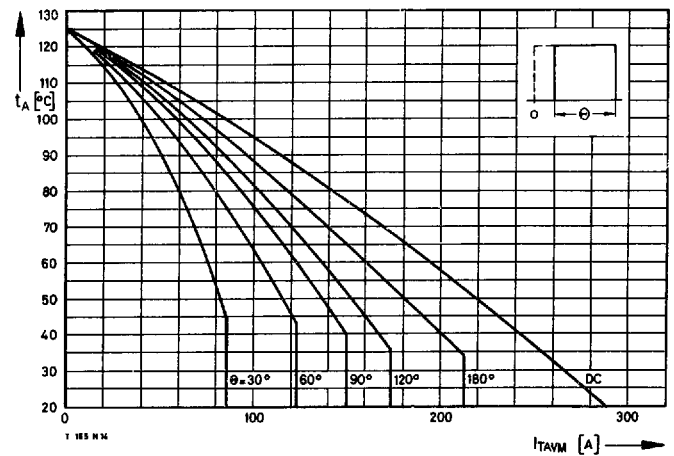
Bild/Fig. 10

Höchstzulässige Gehäusetemperatur t_C bei anodenseitiger Kühlung
Maximum allowable case temperature t_C at anode sided cooling



Bild/Fig. 11

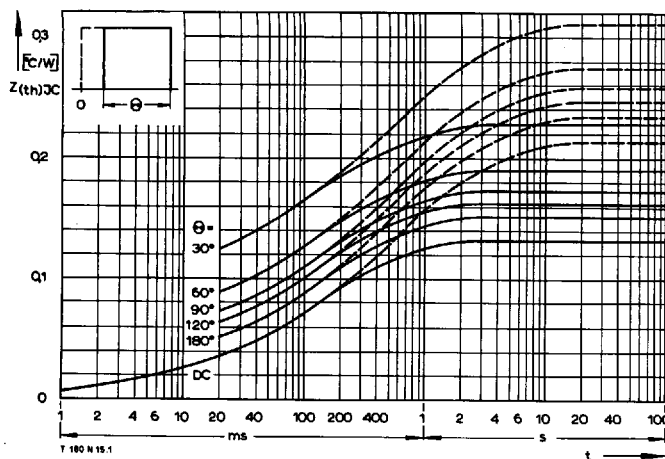
Höchstzulässige Kühlmitteltemperatur t_A bei beidseitiger Luftselbstkühlung,
Kühlkörper K0,36 S.
Maximum allowable cooling medium temperature t_A at natural two-sided cooling,
heat sink type K0.36 S.



Bild/Fig. 12

Höchstzulässige Kühlmitteltemperatur t_A bei verstärkter beidseitiger Luftkühlung,
Kühlkörper K0,12 F, $V_L = 50$ l/s.
Maximum allowable cooling medium temperature t_A at forced two-sided cooling,
heat sink type K0.12 F, $V_L = 50$ l/s.

T-25-19

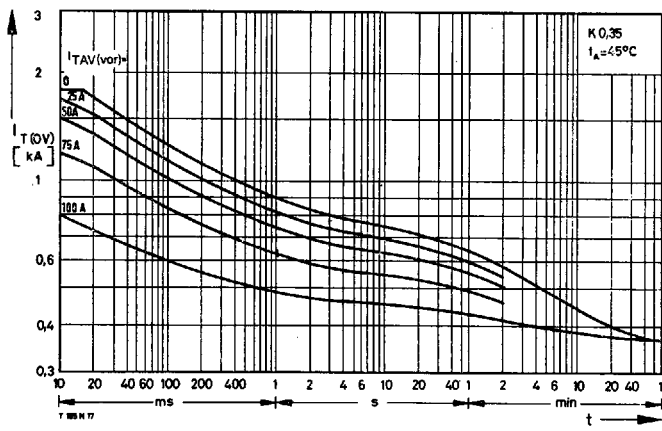


Bild/Fig. 13

Transienter innerer Wärmewiderstand $Z_{(th)IC}$

Transient thermal impedance, junction to case, $Z_{(th)JC}$

----- anodenseitige Kühlung/anode sided cooling

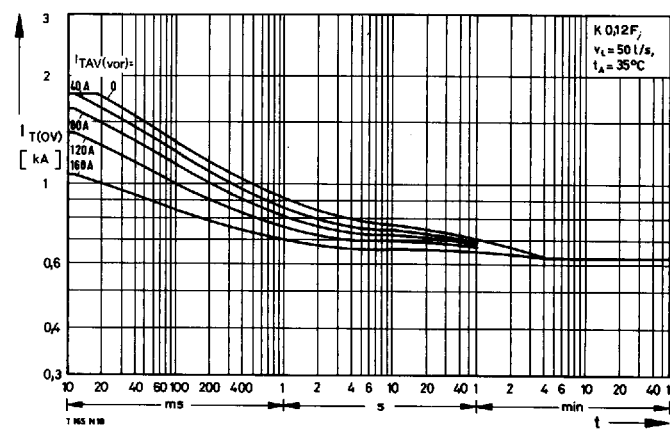


Bild/Fig. 14

Überstrom $I_{T(OV)}$, bei beidseitiger Luftselbstkühlung, $t_A = 45^\circ\text{C}$, Kühlkörper K0,36S.

Overload on-state current $I_{T(OV)}$ at natural two-sided cooling, $t_A = 45^\circ\text{C}$, heatsink type K 0.36 S.

Parameter: Vorlaststrom/pre-load current |_{T_{AVG}}

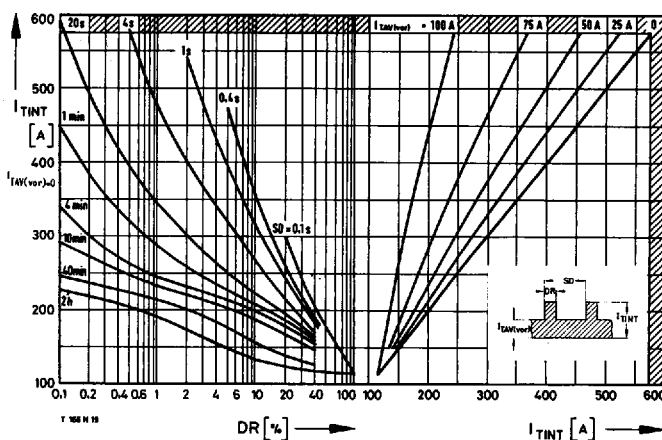


Bild/Fig. 15

Überstrom $I_{T(OV)}$ bei verstärkter beidseitiger Luftkühlung, $t_A = 35^\circ\text{C}$, Kühlkörper K0.12E, $V_1 = 50 \text{ l/s}$.

Overload on-state current I_{TOV} at forced two-sided cooling, $t_A = 35^\circ\text{C}$, heatsink type K012F, $V_c = 50\text{ V}$

Parameter: Vorlaststrom/pre-load current I_V

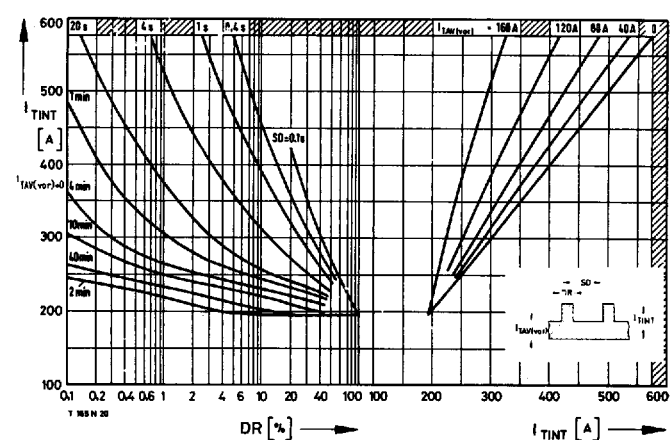


Bild/Fig. 16

Höchstzulässiger Durchlaßstrom I_{NT} bei Aussetzbetrieb und beidseitiger Luftselbstkühlung, $t_a = 45^\circ\text{C}$, Kühlkörper K0.36 S.

Limiting on-state current I_{TINT} during intermittent operation at natural two-sided cooling, $t_A = 45^\circ\text{C}$, heatsink type **K0.36 S**.

Parameter: Spielzeit/cycle duration SD
Vorlaststrom/pre-load current $I_{TAVIVOR}$

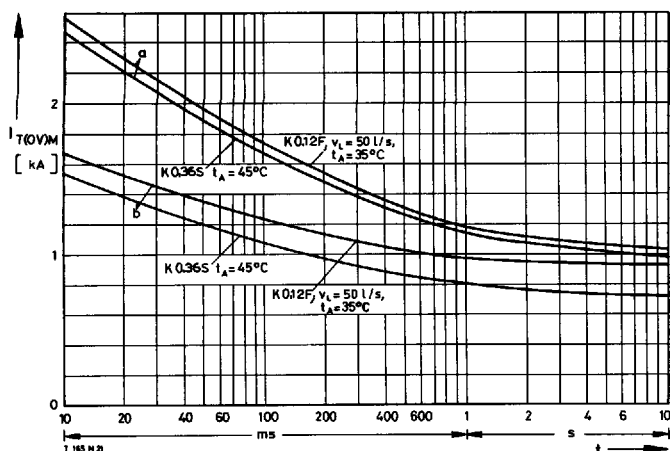


Bild/Fig. 17

Höchstzulässiger Durchlaßstrom I_{TINT} bei Aussetzbetrieb und verstärkter beidseitiger Luftkühlung, $t_a = 35^\circ\text{C}$, Kühlkörper K 0.12 F, $V_i = 50 \text{ l/s}$.

Limiting on-state current I_{TINT} during intermittent operation at forced two-sided cooling, $t_A = 35^\circ\text{C}$, heatsink type KO.12E, $V_L = 50$ l/s.

Parameter: Spieldauer/cycle duration SD
Vorlaststrom/pre-load current



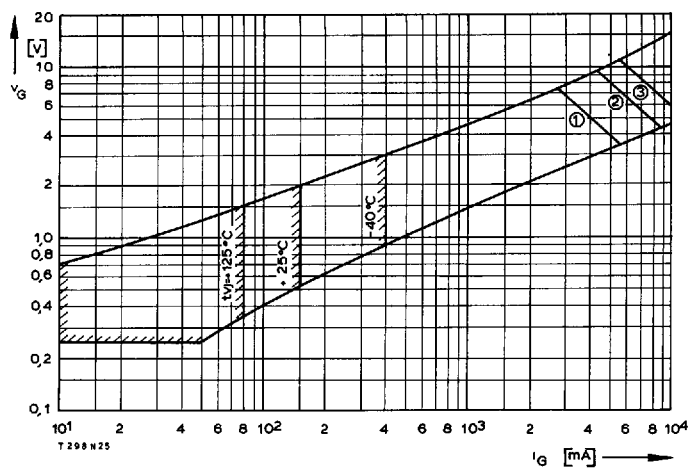
Bild/Fig. 18

Grenzstrom $I_{T(OVM)}$ bei Luftselselbstkühlung und verstärkter Luftkühlung,Kühlkörper K0,36 S und K0,12F, $U_{RM} = 0,8 U_{RRM}$.Limiting overload on-state current $I_{T(OVM)}$ at natural and forced cooling,heatsink type K0.36S and K0.12F, $U_{RM} = 0.8 U_{RRM}$.

a – Belastung aus Leerlauf/current surge under no-load conditions

b – Belastung nach Betrieb mit Dauergrenzstrom I_{TAVM} /

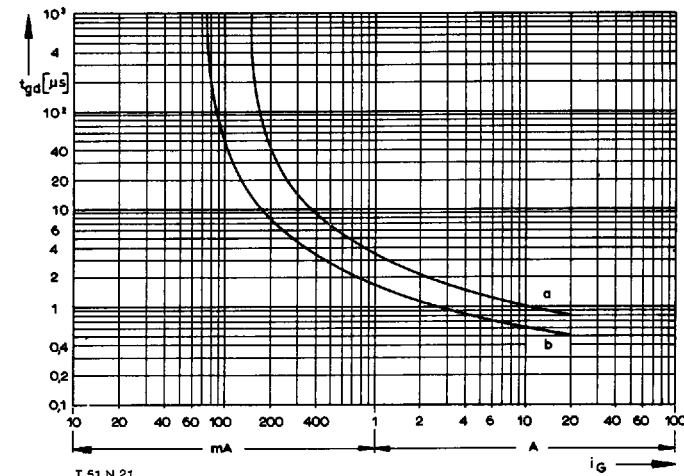
current surge occurs during operation at limiting mean on-state current

rating I_{TAVM} 

Bild/Fig. 19

Zündbereich und Spitzesteuerleistung bei $V_D \geq 6 \text{ V}$.Gate characteristic and peak gate power dissipation at $V_D \geq 6 \text{ V}$.

Parameter:	1	2	3
Steuerimpulsdauer/Pulse duration t_g [ms]	10	1	0,5
Höchstzulässige Spitzesteuerleistung/ Maximum allowable peak gate power [W]	20	40	60

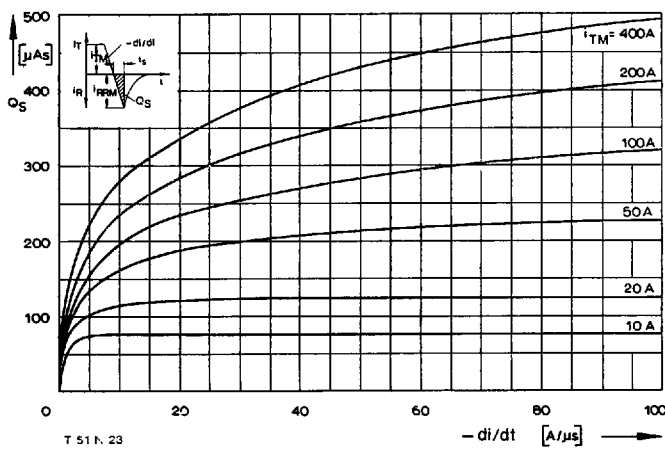


Bild/Fig. 20

Zündverzug t_{gd} bei $i_{TM} = 50 \text{ A}$, $t_{ij} = 25^\circ\text{C}$.Gate controlled delay time t_{gd} at $i_{TM} = 50 \text{ A}$, $t_{ij} = 25^\circ\text{C}$.

a – äußerster Verlauf/limiting characteristic

b – typischer Verlauf/typical characteristic



Bild/Fig. 21

Nachlauffladung Q_S in Abhängigkeit von der abkommunizierenden Stromsteilheit $-di/dt$ bei $t_{ij} = 125^\circ\text{C}$.

Der angegebene Verlauf wird von 90% aller Thyristoren nicht überschritten.

Lag charge Q_S versus the rate of decay of the forward on-state current $-di/dt$ at $t_{ij} = 125^\circ\text{C}$.

These curves are valid for 90% of all thyristors.